

УДК 539.2

**МОДЕЛЬНАЯ ДИЭЛЕКТРИЧЕСКАЯ ФУНКЦИЯ ДЛЯ СЛОИСТЫХ
ПРОВОДНИКОВ ТИПА ГРАФИТА**

Гохфельд В.М. (ИФГП НАНУ, ДонФТИ НАНУ)

Проаналізовано специфіку колективних електромагнітних коливань у шаруватому провіднику з квазідвовимірним електронним спектром

**MODEL DIELECTRIC FUNCTION FOR LAYERED GRAPHITE-LIKE
CONDUCTORS**

Gokhfeld V.M.

Features of cooperative electromagnetic oscillations in a layered conductor with quasi-two-dimensional electron spectrum were studied.

1. Введение.

Монокристаллы графита, а в еще большей степени интеркаляты, приготовленные из них добавлением металлических атомов, обладают ярко выраженной слоистой структурой и резкой анизотропией статической электропроводности: ее значения вдоль и поперек слоев (ось OZ) могут отличаться несколькими порядками величины [1]. Подобная анизотропия присуща и другим, более сложным веществам: купратным металлооксидам (например, $Y-Ba-Cu-O$ в несверхпроводящей фазе), дихалькогенидам переходных металлов ($NbSe_2$, TaS_2), а также целому ряду органических проводников типа солей тетраиофульвалена ($(BEDT-TTF)_2 I_3$). По-видимому, общее свойство слоистых проводящих кристаллов (или, по крайней мере, многих из них) – это слабая зависимость энергии электронов ε от z -проекции их квазиимпульса \mathbf{p} , что проявляется в открытых ферми-поверхностях (ФП) типа «гофрированный цилиндр» [2, 3]. Простую, но достаточно характерную модель такого – квазидвумерного – спектра можно получить, оставляя в общем выражении

$$\varepsilon(\mathbf{p}) = \sum_{n=0}^{\infty} \varepsilon_{zn}(\mathbf{p}_{\perp}) \cos\left(\frac{nap_z}{\hbar}\right), \quad n = 0, 1, 2, \dots \quad (1)$$

лишь нулевую и первую гармоники и пренебрегая анизотропией в базисной плоскости:

$$\varepsilon(\mathbf{p}) = p_{\perp}^2 / 2m - (\hbar v_1 / a) \cos(\theta). \quad (2)$$

Здесь $p_{\perp}^2 \equiv p_x^2 + p_y^2$, $\theta \equiv ap_z / \hbar$, m – эффективная масса электрона, характеризующая движение вдоль слоев, v_1 – максимальная скорость в перпендикулярном направлении (OZ), a – соответствующий период кристаллической решетки. Согласно сказанному выше, отношение $\mu \equiv v_1^2 / v_F^2$, где $v_F^2 \equiv 2\varepsilon_F / m$ –

квадрат фермиевской скорости, предполагается малым. Для модели (2) число состояний в единице объема и их энергетическая плотность равны соответственно

$$N = \varepsilon_F \langle 1 \rangle, \quad \langle 1 \rangle = m / \pi a \hbar^2. \quad (3)$$

В данном сообщении рассматривается геометрия, в которой переменное электрическое поле $E \propto \exp(-i\omega t)$ и волновой вектор \mathbf{k} (характеризующий пространственную неоднородность) параллельны нормали к слоям $(OZ)^1$. Мы вычислим диэлектрическую функцию с учетом ферми-жидкостного взаимодействия (ФЖВ), найдем закон дисперсии продольных плазменных колебаний, выясним характер распределения высокочастотного (ВЧ) электрического поля в полубесконечном образце, а также рассмотрим специфику низкочастотных коллективных возбуждений слоистого проводника – они возможны при наличии двух зон типа (2) в его электронном спектре.

2. Диэлектрическая функция

Согласно теории ферми-жидкости [4], кинетическое уравнение в данном случае имеет вид

$$k v_z \Phi - \omega \Psi - i e E v_z = i \tau^{-1} (\Phi - \langle \Phi \rangle / \langle 1 \rangle), \quad (4)$$

где τ – время релаксации, предполагаемое достаточно большим. Функцию Ландау $L(\mathbf{p}, \mathbf{p}')$, связывающую эффективное и истинное распределения частиц, в соответствии с симметрией данной задачи достаточно выбрать в форме

$$L(\theta, \theta') = L_0 + 2L_1 \cos(\theta - \theta'). \quad (5)$$

В таком случае

$$\Phi(\theta) = \Psi(\theta) + \int_{-\pi}^{\pi} \frac{d\theta'}{2\pi} L(\theta, \theta') \Psi(\theta'), \quad (6)$$

и уравнения (4) – (6) легко разрешаются относительно гармоник входящих в них функций. В частности, для $\Psi_0 \equiv \langle \Psi \rangle / \langle 1 \rangle$ находим:

$$\Psi_0 = \frac{i e E}{k} \frac{\tilde{\omega} W}{\omega + W(i\tau^{-1} + \tilde{\omega}(L_0 + \lambda \omega^2 / k^2 v_0^2))}, \quad (7)$$

где введены обозначения

$$W(k, \omega) \equiv \left\langle \frac{k v_z}{k v_z - \tilde{\omega}} \right\rangle \langle 1 \rangle^{-1} = 1 - \frac{\tilde{\omega}}{\sqrt{\tilde{\omega}^2 - k^2 v_1^2}}, \quad \lambda \equiv 2L_1 / (1 + 2L_1), \quad \tilde{\omega} = \omega + i / \tau. \quad (8)$$

По определению, $\epsilon \equiv 1 + 4\pi \langle \Psi \rangle / i k E$, так что диэлектрическая функция равна

¹ Поперечные электромагнитные колебания в слоистых проводниках (когда $\mathbf{E} \perp OZ$) рассматривались в [5].

$$\epsilon(k, \omega) = 1 + \frac{\kappa^2}{k^2} \frac{\tilde{\omega}W}{\omega + W(it^{-1} + \tilde{\omega}(L_0 + \lambda\omega^2 / k^2 v_0^2))}, \quad (9)$$

где

$$\kappa^2 \equiv 4\pi e^2 \langle 1 \rangle = 4me^2 / a\hbar^2 \quad (10)$$

– квадрат декремента статического экранирования в газовом приближении. Как видно из (9), (10) и дисперсионного уравнения $\epsilon(k, \omega) = 0$, с учетом ФЖВ этот декремент равен $\kappa / \sqrt{1 + L_0}$. Для активационной частоты плазменных колебаний, полагая в (9) $k \rightarrow 0$, $\tau \rightarrow \infty$, находим

$$\omega_p^2 = \frac{2me^2 v_1^2}{a\hbar^2} (1 + L_1) = \mu \frac{4\pi Ne^2}{m} (1 + L_1), \quad (11)$$

где $4\pi Ne^2 / m$ – квадрат плазменной частоты в газовом приближении (в изотропном металле с той же плотностью носителей N). Отметим, что в обычном металле $\omega_p \sim \epsilon_F / \hbar$, в то время как теория ФЖВ, строго говоря, корректна лишь при $\hbar\omega \ll \epsilon_F$ [6]. В нашем же случае плазменная частота существенно понижается (в меру малости $\sqrt{\mu}$), и это позволяет непосредственно использовать формулу (9) для нахождения закона дисперсии продольных плазмонов:

$$\omega^2(k) = \frac{\omega_p^2}{\lambda} \left[\frac{k^2}{2\kappa^2} - K + \lambda K + \sqrt{\left(K - \frac{k^2}{2\kappa^2} \right)^2 + \lambda K \frac{k^2}{\kappa^2}} \right],$$

$$K(k) \equiv 1 + (1 + L_0)k^2 / \kappa^2 \quad (12)$$

Это выражение довольно громоздко, так что мы приведем и его упрощенный вид для случая, когда имеется лишь нулевая гармоника функции Ландау:

$$\omega(k) = \left(\frac{ev_1}{\hbar} \sqrt{\frac{2m}{a}} \right) \frac{\kappa^2 + (1 + L_0)k^2}{\kappa \sqrt{\kappa^2 + (1/2 + L_0)k^2}}. \quad (13)$$

3. Распределение электрического поля в образце

Вычислив диэлектрическую функцию безграничного проводника, мы можем решить граничную задачу для полупространства $z \geq 0$. Проникновение ВЧ продольного электрического поля в максвелловскую плазму впервые рассматривалось Ландау [7]; в вырожденную – с подробным анализом граничных условий для электронной функции распределения – в [8]. В нашем случае углы падения электронов на границу заведомо малы ($\leq v_1 / v_F$), что существенно упрощает задачу, позволяя принять т. н. «зеркальное» граничное условие. Если поле вне металла (т.е. между обкладками конденсатора, одной

из которых является образец) задано, а именно $E(z \leq 0) = (0, 0, E_0 \exp(-i\omega t))$, то его распределение в образце дается формулой

$$E(z) = \frac{E_0}{i\pi} \int_{-\infty}^{+\infty} \frac{dk}{k \in (k, \omega)} \exp(ikz). \quad (14)$$

Полус в $k = 0$ обходится снизу; в соответствии с непрерывностью электрической индукции $\mathbf{D}(z)$ он дает предельное значение поля в глубине проводника

$$E(\infty) = E_0 / \epsilon(0, \omega); \quad \epsilon(0, \omega) = 1 - \omega_p^2 / \omega(\tilde{\omega} + iL_1 / \tau), \quad (15)$$

малое по сравнению с E_0 , если $\omega \ll \omega_p$. Однако при $\omega \tau \gg 1$ затухание поля до этого значения происходит немонотонным образом: помимо вычетов интеграл (14) содержит осциллирующий вклад точки ветвления $k_1 = \tilde{\omega} / v_1$, обусловленный наличием максимальной Z -проекции скорости в электронном спектре и равный

$$E_1(z) \cong -\frac{4E_0 F^2}{\pi} \int_1^{\infty} \frac{dx x \sqrt{x^2 - 1} \exp(ik_1 x z)}{(x^2 - 1)[2 + (1 + L_0)F^2 x^2]^2 + (2 + L_0 F^2 x^2)^2}, \quad (16)$$

где $F \equiv \tilde{\omega} / \omega_p$. На небольших расстояниях от поверхности ($z \sim v_1 / |\tilde{\omega}|$) он не мал по сравнению с «гидродинамическим» вкладом (15). При $z \gg v_1 / |\tilde{\omega}|$ отношение этих значений определяется соответствующей асимптотикой интеграла (16) и равно

$$\frac{E_1(z)}{E(\infty)} \approx \frac{1}{\sqrt{2\pi i}} \frac{1 - F^2}{(1 + L_0 F^2 / 2)^2} \left(\frac{v_1}{\tilde{\omega} z} \right)^{3/2} \exp(iz\tilde{\omega} / v_1). \quad (17)$$

Т.о., полная однородность достигается лишь вне переходного слоя толщиной порядка длины пробега носителей $l_z = v_1 \tau$, в котором поле осциллирует с «периодом» $\approx 2\pi v_1 / \omega$. В слоистом проводнике оба масштаба уменьшаются по сравнению с изотропным случаем, оставаясь, однако, макроскопическими при не слишком высоких частотах ω и τ^{-1} . При этом, как видно из (17), роль ФЖВ здесь невелика.

Ради полноты следует рассмотреть и резонансный случай $\omega \approx \omega_p$, когда макроскопической величиной является характерная длина k^{-1} , определяемая дисперсионными соотношениями (12) или (13). При столь высоких частотах непосредственное возбуждение монохроматического поля в образце затруднительно, однако характер пространственного распределения резонансных гармоник может проявиться в импульсном режиме, а также в опытах по прохождению либо отражению электронных пучков².

² То есть в процессе электронной спектроскопии [9]. При этом могут быть измерены такие параметры как ω_p и \mathbf{K} (см. (10), (11)), значимые для макроскопических свойств проводника.

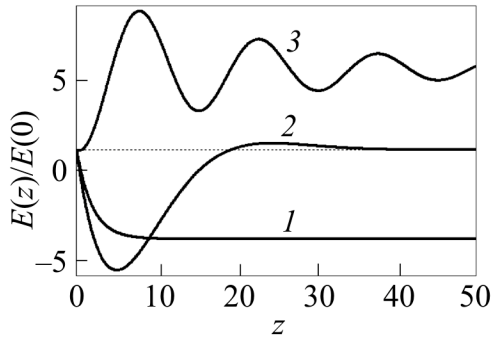


Рис. 1. Проникновение в образец переменного электрического поля, приложенного к его поверхности, при частотах, близких к плазменной ω_p : для кривых 1, 2, 3 отношение ω/ω_p равно 0.9, 1.0 и 1.1 соответственно, а параметр $1 + L_1/\omega_p\tau = 0.05$. Глубина z отложена в безразмерных единицах, соответствующих фазе в формуле (18)

Вблизи ω_p радикалы в диэлектрической функции (см. (12), (13)) можно разложить по малым k^2 . Тогда приближенный расчет по формуле (14) дает:

$$\frac{E(z)}{E_0} \cong \frac{1}{\epsilon(0, \omega)} + \left(1 - \frac{1}{\epsilon(0, \omega)}\right) \exp\left(iz\kappa \sqrt{\frac{2\epsilon(0, \omega)}{3 + 2L_0}}\right),$$

$$\epsilon(0, \omega) \cong 1 - \frac{\omega_p^2}{\omega(\tilde{\omega} + iL_1/\tau)}, \quad |\epsilon(0, \omega)| \ll 1 \quad (18)$$

соответствующие кривые показаны на рис. 1.

4. Спектр коротковолновых плазмонов

Наконец, обратимся к случаю больших k (ради краткости – в газовом приближении и в бесстолкновительном пределе). Строго говоря, этот случай нельзя рассматривать на основании квазиклассического выражения для проводимости

$$\sigma(\mathbf{k}, \omega) = -ie^2 \left\langle \frac{v_z^2}{\mathbf{k}\mathbf{v} - \tilde{\omega}} \right\rangle \quad (19)$$

(ср. (8)), поскольку оно не является инвариантным относительно трансляций в обратной решетке, $k \rightarrow k + 2\pi/a$. Трансляционно инвариантную диэлектрическую функцию $\epsilon(k) \equiv 1 + 4\pi i\sigma(k)/\omega$ можно построить, заметив, что величина $\hbar\mathbf{k}\mathbf{v}$ есть не что иное, как результат разложения по малым \mathbf{k} стандартной энергетической разности в формулах квантовой теории возмущений (см., напр., [6]). В точности же эта разность – для спектра (2) – равна

$$\epsilon(\mathbf{p} + \hbar\mathbf{k}/2) - \epsilon(\mathbf{p} + \hbar\mathbf{k}/2) = \hbar v_z (2/a) \sin(ka/2),$$

т.е. k в (19) следует заменить на $Q = (2/a) \sin(ka/2)$. В результате

$$\epsilon(k, \omega) = 1 + \frac{\kappa^2}{Q^2} \left(1 - \frac{\omega}{\sqrt{\omega^2 - Q^2 v_1^2}}\right). \quad (20)$$

Таким образом, обычное ограничение $\hbar k \ll p_F, \hbar/a$, накладываемое на квазиклассические расчеты плазмонного спектра (см., напр., [6]), в данном случае можно снять, поскольку электронный закон дисперсии (2) определен во всей зоне Бриллюэна. Для $\omega(k)$ из (20) получаем:

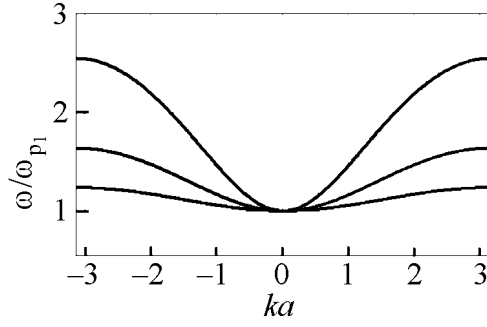


Рис. 2. Закон дисперсии продольных плазмонов при различных значениях параметра $b = ame^2 / \hbar^2$: сверху вниз $b = 0.33, 1.0, 3.0$

$$\omega(k) = \omega_{p1} \sqrt{\frac{2}{b} \frac{b + \sin^2(ka/2)}{2b + \sin^2(ka/2)}}, \quad (21)$$

где $\omega_{p1} = (ev_1 / \hbar) \sqrt{2m/a}$; $b = \kappa^2 a^2 / 4 \equiv ame^2 / \hbar^2$, т.е. отношение периода решетки к «боровскому радиусу». Поскольку последний (при $m \sim m_0$) порядка 10^{-8} см, параметр b может оказаться большим, в особенности в искусственных сверхрешетках с большим расстоянием между проводящими слоями. В таком случае спектр (21) представляет собой узкую, а при малых эффективных массах – сравнительно широкую зону (рис. 2):

$$\omega_p^{\max} / \omega_{p0} - 1 = (b+1) / \sqrt{b^2 + b/2} - 1 \approx \begin{cases} 3/4b & (b \gg 1) \\ \sqrt{2/b} & (b \ll 1) \end{cases} \quad (22)$$

Декремент статического экранирования κ заменяется на

$$\bar{\kappa} = (2/a) \operatorname{arsh}(\sqrt{b}). \quad (23)$$

5. Двухзонная модель

До сих пор мы предполагали односвязную ФП. Однако электронная структура слоистых «синтетических металлов» довольно сложна, так что вполне вероятно наличие двух (например, электронной и дырочной) долин типа (2) с различными значениями $(v_z)_{\max}$: $v_{12} = Bv_{11}$ ($B \geq 1$). Как было показано для изотропного металла [10], в двухдолинном случае ФЖВ (уже в простейшей его форме $L(\mathbf{p}, \mathbf{p}') = L_{\alpha\beta}$; $\alpha, \beta = 1, 2$) делает возможным существование продольной коллективной моды типа электронного нуля-звука при сравнительно низких частотах, $\tau^{-1} \ll \omega \ll \omega_p$. Ее фазовая скорость $V = uv_{12}$ удовлетворяет характеристическому уравнению

$$D(k) \equiv \sum \eta_{\alpha} W_{\alpha} + LW_1 W_2 = \eta_1 W(Bu) + \eta_2 W(u) + LW(Bu)W(u) = 0, \quad (24)$$

где

$$\eta_{\alpha} \equiv m_{\alpha} / (m_1 + m_2); \quad L \equiv \eta_1 \eta_2 (L_{11} + L_{22} - L_{12} - L_{21}), \quad (25)$$

а функциональный вид $W(u) \equiv W(\tilde{\omega} / kv_{12})$ в нашем случае дается формулой (8). Уравнение (24) имеет вещественный корень ($u > 0$) только при достаточной интенсивности ФЖВ, именно при

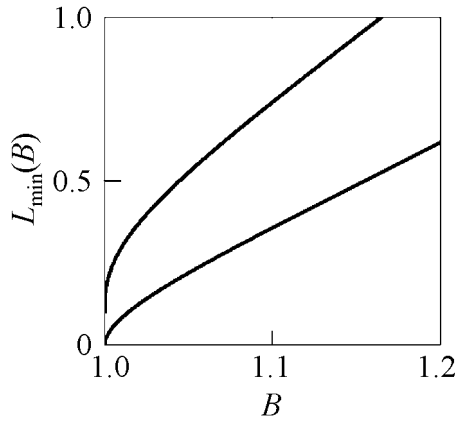


Рис. 3. Пороговые значения параметра ФЖВ L_{\min} в зависимости от отношения скоростей B для квазидвумерного (нижняя кривая) и изотропного спектров (в этом случае $W(B) = 1 + \frac{B}{2} \ln\left(\frac{B-1}{B+1}\right)$, см. (8)); η_2 принято равным 0.5.

$$L \geq L_{\min}(B) = -\eta_2 / W(B) \quad (26)$$

Как видно на рис. 3, в квазидвумерном металле пороговые значения L_{\min} оказываются значительно меньшими, чем в изотропном металле при тех же B , особенно вблизи $B = 1$.

В этом – вырожденном – случае $L_{\min} = 0$, а решение уравнения (24) есть

$$u(L) = (1 + L) / \sqrt{1 + 2L}. \quad (27)$$

Рассматриваемая волна представляет собой антифазные парциальные колебания электронных плотностей в обеих долинах. Ввиду (приближенной) электронейтральности металла такую волну затруднительно наблюдать в электрических экспериментах. Однако упругая сила, порождаемая неравновесным распределением носителей, дает возможность детектировать электронный нуль-звук по сопутствующей ему упругой волне с фазовой скоростью $\approx V$. Этот эффект наблюдался в ряде обычных металлов (W, Al, Ga; см. [11]). Его можно описать, решая совместно электронное кинетическое уравнение и уравнение теории упругости для полупространства с заданными колебаниями границы $u_0 \exp(-i\omega t)$.

Не вдаваясь в детали расчета, выпишем результат в k -представлении:

$$U(k) = \frac{2U_0}{ik} \left[1 + \frac{\omega^2}{s^2 k^2 (1+R) - \omega^2} \right], \quad R(k) = \frac{\omega \Lambda^2 \langle 1 \rangle}{\tilde{\omega} \rho s^2} \eta_1 \eta_2 (1+L) \left(1 - W_1 W_2 \frac{1+L}{D(k)} \right), \quad (28)$$

где ρ – массовая плотность образца, s – продольная скорость звука. Мы предполагаем, что $s \ll v_1$. При этом $U(k)$ имеет два существенно различных полюса: первый, $k_S \approx \omega/s$, относится к обычному звуку; второй же, k_{LS} , близок к корню уравнения (24) и описывает добавочную упругую волну. Простая оценка ее относительной величины может быть получена из (28) в вырожденном случае ($v_{11} \approx v_{12} \equiv v_1$):

$$U_{0S}(z) \cong U_0 \frac{\omega \Lambda^2 \langle 1 \rangle}{\tilde{\omega} \rho v_1^2} \eta_1 \eta_2 \frac{2L}{1+L} \exp\left(\frac{i\tilde{\omega} z \sqrt{1+2L}}{v_1 (1+L)} \right). \quad (29)$$

Это выражение пропорционально v_1^{-2} – вместо v_F^{-2} в обычном металле. Мы можем предположить, что Λ , разность между константами деформационного потенциала в долинах 1 и 2, не имеет специфической малости в слоистых проводниках. В них, в таком случае, данный эффект (на небольших расстояниях от границы, $z \leq v_1 \tau$) был бы значительно более интенсивным. Однако для его наблюдения необходимы достаточно чистые образцы и низкие температуры.

6. Выводы

Приведенный модельный расчет электродинамических характеристик слоистого проводника показывает отличие таковых от случая изотропного металла с той же плотностью носителей заряда, в частности, существенное понижение активационной частоты и скорости продольных плазменных колебаний, распространяющихся по нормали к слоям. Кроме того, случай квазидвумерного спектра носителей может быть более благоприятным для наблюдения электронного нуля-звука.

В заключение укажем на стойкий интерес исследователей к электродинамическим свойствам проводящих модификаций углерода (см., например, [12]). Электромагнитное облучение может применяться и в чисто практических целях, в том числе в процессе дегазации каменного угля [13, 14].

Автор признателен Э. П. Фельдману за обсуждение работы.

СПИСОК ЛИТЕРАТУРЫ

1. А.И. Буздин, Л.Н. Булаевский. УФН **144**, №3 (1984).
2. J. Vosnitzer. Fermi Surfaces of Low-Dimensional Organic Metals and Superconductors. Vol. **134** in Springer Tracts in Modern Physics, Springer (1996).
3. J. Singleton. Studies of Quasi-Two-Dimensional Organic Conductors Based on BEDT-TTF Using High Magnetic Fields in Reports on Progress in Physics **116** (2000).
4. Л.Д. Ландау. ЖЭТФ. 1957. Т. **32**. С. 59.
5. В.М. Гохфельд, В.Г. Песчанский. УФЖ **37**, №10 (1992).
6. D. Pines and Ph. Nozieres. The Theory of Quantum Liquids. Vol.1. W.A. Benjamin, Inc., New York - Amsterdam. 1966.
7. Л.Д. Ландау. ЖЭТФ. 1946. Т. **16**. С. 574.
8. В.М. Гохфельд, М.И. Каганов, Г.Я. Любарский. ЖЭТФ. 1987. Т. **92**, № 2. С. 523.
9. И.К. Козлов. Современные проблемы электронной спектроскопии. М., 1978.
10. Dunin S. Z. and Fetisov T. P. Fiz. Tekh. Poluprovodn. 1972. V. **14**, #1, P. 270.
11. E.V. Bezugly, N.G. Burma, E.Yu. Deineka and V.D. Fil'. Sverkhprovodimost'. 1991. V.4, #4. P. 661.
12. А.В. Елецкий, Б.М. Смирнов. Фуллерены. УФН, 1993, т. 163, №2.
13. Mingju Liu and Xueqiu He. Electromagnetic Response of outburst-prone Coal // Intern. Journal of Coal Geology. 2001. – Vol. 45. – P. 155 – 162.
14. А.Д. Алексеев, А.К. Кириллов, А.Г. Мнухин, А.М. Брюханов. Электромагнитное воздействие на угольный пласт для активации процесса дегазации // Физико-технические проблемы горного производства. 2006. – № 9. – С. 5 – 19.